

# 1-8. トラスの換算に関する一考察

東京大学工学部 正員 奥村 敏思  
電力中央研究所 正員 ○渡辺 啓行

幅員の大きい橋梁に於いて、横構は主荷重に対する直接的な負担のわりに、柱脚に対する安全性から非常に大きな断面を必要とする。トラス等の open bridge では、弦材の剛度を高める事に依りこの構造物面を軽減出来ると思われる。又、パイプをトラス等に用いる時、腹板を弦材に剛結する事で腹板の面外性屈筋は、弦材の諸剛度によって増加される事が知られている。

以上の事を定量的に調べる事を最終目標において、本研究では、トラスの換算について、その換算剛度に対する弦材諸剛度の影響を調べてみた。即ち、従来無視されていた弦材諸剛度を考慮に入れた理論式を立て、これによる理論値と実験値との比較検討を行つた。

理論式説明は概略次の様に行つたが、問題を簡単にするため、弦材については断面図心と剪断中心とが一致するもののみを取つた。又、弦材は全長にわたり一様断面とし、腹板も全ての単位トラスで同一断面を有するものを取つた。

弦材剛性を考えない換算变形に対しては、従来の文献に見られる様にトラスを理想化して想い、腹板は剪断力のみを受けるメンバーと考え、变形の適合から単純換算応力を求めている。一方、曲げ換算变形に対しては、各単位トラスの両端で、弦材に生じた反りが連続する様に、拘束力  $X_r$  のトラス断面内の合力は零) を与え、それに伴い bimoment を構成するものと仮定する。これより、曲げ換算応力及び、反り拘束に依り生ずる附加回転变形を求めた。

反りの連続条件は、一般に次の形となる。

$$-g_r X_{r-1} + (p_r + p_{r+1}) X_r - g_{r+1} X_{r+1} = -w_r^M + w_{r+1}^M \quad (1)$$

ここで、 $p_r$  は単位トラスの一端に上の様な拘束力を単位量与えた時のその端面の反りであり、 $g_r$  は同じ荷重による他端の反りである。これらは、各単位トラスについて、トルクと拘束力との2種の荷重と色々の变形とに相対定理を適用する事から決定され、今取つてあるトラスに関しては全単位トラスについて一定である。 $r$  は単位トラスの番号、 $w_r^M$  はトルクによる単位トラスの反りである。

次に、換算变形の際の弦材の变形を、その剪断中心まわりの回転と、トラス断面の回転中心と弦材剪断中心を結ぶ軸のまわりのタワミとの2種と考えると、タワミ量はトラスの回転变形に比例してあり、反りは、回転変形の長手方向量による一回微係数に比例しているから、反りを拘束する事は弦材では、そのタワミ角を連続させる事と同意義となる。従つて、弦材剛性を考えた時には、弦材の節点で曲げモーメントが生ずるが、これは上述の条件を満足するという条件から計算される。そして軸力のみを考えた(弦材剛度を考慮しない)場合のトラスの単純換算变形を各組の単位トラスからトラスの全長で割り出し、中を未知パラメータに選んで、以上の全ての变形を中の実数として表わした後、これらの全变形エネルギーと外力のなす仕事をつけて、Clapeyron の定理から、パラメータ中ヒトルク  $M_t$  との関係を求めた。

主構フーレン、横構ダブルフーレンのトラスについてのこの関係式は次の様になった。

$$M_F = \left[ \frac{4b^2d^2A_bAhMu_0h}{AvMu_0b^2+2AhMu_0d^2} E + 4 \left\{ R_{\text{tr}}GJ_0 + \frac{\mu_2}{3} \frac{E(I_0R^2+C_{\text{tr}})}{\lambda^2} \right\} \right] \frac{\phi}{\lambda} \quad (2)$$

ここで、 $J_0, C_{\text{tr}}$  は弦材の慣剛性、 $b, d$  はトラスの中と高さ、 $\lambda$  は単位トラス長、 $R$  はトラスの回転中心と弦材凹心との距離、 $I_0$  はこの距離を結ぶ軸のまわりのトラスの当量断面2次モーメント、 $\mu_1$  と  $\mu_2$  は弦材のタワミによって決まってくる値で、トラス組数、各単位トラス番号、そして重力のみを考えた場合のトラスの挙れに與する諸定数に依っている定数である。オーナー式は従来行なわれている方法で求めた値と一致しオーナー項以下が弦材諸剛度の影響で、一定のトルクに対して、パラメータ中は従来の値よりこの量だけ軽減される。 $A_b, A_v$  は腹材断面積、 $M = \text{kg}\cdot\text{m}^2\cdot\text{rad}$  は図6参照。

以上による計算結果と実験値を図示する。なお、今回行った実験用いた試験体は、弦材の諸剛度が著しく現われる構造に比して特に弦材の大きなものを選び、材料は真ちゅうを用い、又、初めの仮定と反するが弦材にはアンギルを用いた。載荷は、一端にトルクを与える、反りに対して両端固定として実験を行った。トラスの組数は6とした。

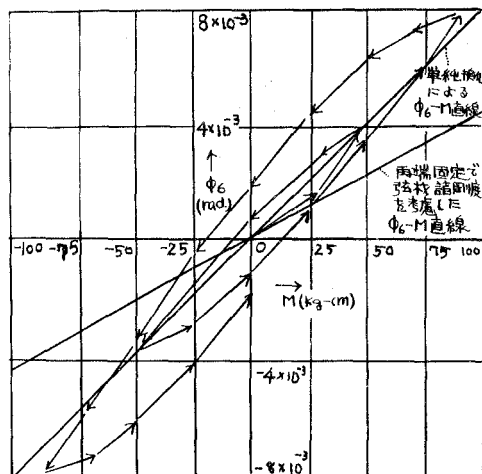


図1  $\phi_6$ -M曲線

$\phi_6$ は曲げ挙れを含めた  
載荷端の回転変形で(2)  
により Mの内数で与えられる

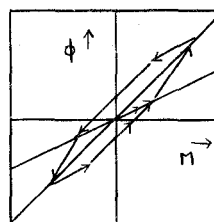


図2 假定が全て成立するとして  $\phi_6$ -M曲線

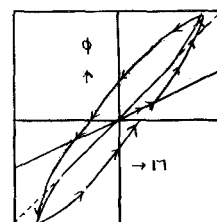


図3 ある荷重以上で挙がる非線型化した  $\phi_6$ -M曲線

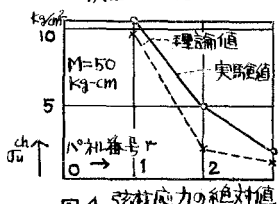


図4 弦材応力の絶対値の長手方向変化図

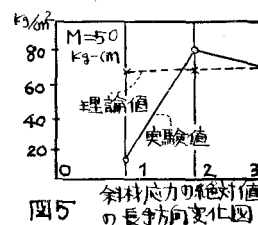


図5 余材応力の絶対値の長手方向変化図

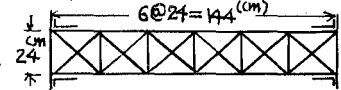


図6 試験体略図

図1は実験結果で矢印の順にトルクを加えた。荷重の増減に対して、ヒステリシスを画くのは、端部を固定する際、ビスを用いた事により、ある大きさの荷重変化に対しては固定条件がゆるむためと考えられる。この事を模型的に考えたのが図2、図3である。

この様に見ると図1に於いて、荷重変化が人の両足は弦材剛度を考慮した直線に沿って変形し荷重変化が大きくなると固定端がゆるみ単純挙れ変形に近づいて行く。固定が完全であればヒステリシスは画かず、弦材剛度を考慮した中-M直線をたどるものと考えられる。図4は弦材応力であり、図5は主構斜材応力である。単純挙れによる主構斜材応力は、図1に於ける2種の中-M直線のtangentの差に近いorderで実験値と違っていた。以上の事より、両端が固定されていて、弦材の曲げ剛度が大きい場合には、トラスの挙れ剛度への弦材剛度の影響は無視出来ない位大きくなる事がわかった。